

УДК 543.42.062:546.62

## ЭКСТРАКЦИОННО-ФОТОМЕТРИЧЕСКОЕ ОПРЕДЕЛЕНИЕ МАРГАНЦА (II) С 2-ГИДРОКСИ-5-ХЛОРИОФЕНОЛОМ И АМИНОФЕНОЛАМИ В ПРИРОДНЫХ И ПРОМЫШЛЕННЫХ ОБЪЕКТАХ

© А. Залов<sup>1</sup>*Статья поступила 26 августа 2014 г.*

Изучены комплексообразование марганца (II) с 2-гидрокси-5-хлортиофенолом и аминофенолами и оптические характеристики образующихся комплексов, определены их молярные коэффициенты поглощения. Предложенная методика экстракционно-фотометрического определения Mn (II) апробирована при анализе стандартных образцов сплавов, а также образцов питьевой воды и листьев петрушки.

**Ключевые слова:** комплексообразование; экстракция; хлороформ; марганец; 2-гидрокси-5-хлортиофенол; Закон Бера.

В природе марганец редко встречается в свободном состоянии, но очень распространен в виде соединений в различных минералах. В малых количествах некоторые соединения марганца находятся в организмах человека, животных, насекомых, а также в бактериях и растениях.

Комплексы марганца (II) термодинамически менее устойчивы, чем аналогичные соединения других двухвалентных переходных металлов. Все полосы  $d-d$ -переходов в спектрах поглощения комплексов марганца являются весьма слабыми, поляризующее действие центрального иона на лиганд также слабо, в связи с чем интенсивность полос переноса заряда невысока. По этой причине число органических реагентов, пригодных для фотометрического определения марганца, ограничено [1 – 2].

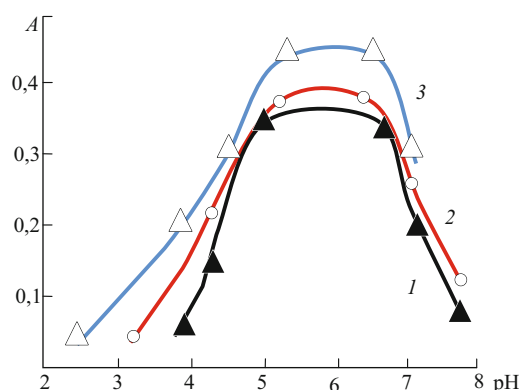
Для марганца характерны координационные числа 6 и 4. Катион  $Mn^{2+}$ , обладая наполовину заполненной  $3d$ -орбиталью ( $3d^5$ ), проявляет большую устойчивость; соединения сильно парамагнитны, окрашены в розовый цвет, имеют отчетливо выраженный основной характер, окисляются только энергичными окислителями.  $Mn^{2+}$  как жесткая кислота образует прочные комплексы с жесткими льюисовыми основаниями, такими как простые и сложные эфиры, кетоны, спирты, эфиры фосфорорганических кислот и другими

кислородсодержащими лигандами [3]. Для  $Mn^{2+}$  характерно и образование однородно- и разнолигандных комплексов с реагентами, содержащими одновременно или в разнородных лигандах донорные атомы N и O или S и O. Для повышения чувствительности и избирательности определения элементов большое значение приобрели разнолигандные комплексы (РЛК) металлов [4 – 7].

В настоящей работе предложена экстракционно-фотометрическая методика определения марганца с 2-гидрокси-5-хлортиофенолом ( $H_2L$ ) и аминофенолами в природных и промышленных объектах. Использовали такие аминофенолы (АФ), как 2-(N,N-диэтиламинометилтио)-4-метоксифенол (АФ<sub>1</sub>), 2-(N,N-дибутиламинометилтио)-4-метоксифенол (АФ<sub>2</sub>), 2,6-бис-(N,N-диметиламинометил)-4-метилфенол (АФ<sub>3</sub>), 2,6-бис(N,N-диметиламинометил)-4-хлорфенол (АФ<sub>4</sub>), 2-(N,N-диметиламинометил)-4-метилфенол (АФ<sub>5</sub>), 2-(N,N-диметиламинометил)-4-бромфенол (АФ<sub>6</sub>) и 4-хлор-2-(N,N-диметиламинометил)-6-тиофенилметилфенол (АФ<sub>7</sub>).

Реагент синтезирован по методике, изложенной в работах [8, 9], его состав и строение установлены методами элементного анализа и ИК-спектроскопии. Вычислено, %: 44,58 C; 3,74 H; 19,83 S; 21,93 Cl; найдено, %: 44,39 C; 3,62 H; 19,69 S; 21,84 Cl. ИК-спектр,  $\text{см}^{-1}$ : 2580 – 2600 (–SH); 3200 – 3600 (–OH); 1400 – 1640 (Ar) [10].

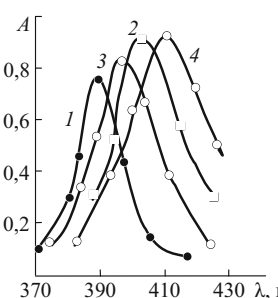
<sup>1</sup> Азербайджанский государственный педагогический университет, г. Баку, Республика Азербайджан;  
e-mail: zalov1966@mail.ru



**Рис. 1.** Влияние pH водной фазы на образование и экстракцию РЛК Mn (II) с L и АФ: 1 — Mn (II)-L; 2 — Mn (II)-L-АФ<sub>1</sub>; 3 — Mn (II)-L-АФ<sub>2</sub> [ $C_{\text{Mn(II)}} = 3,65 \cdot 10^{-5}$  моль/л;  $C_L = (1,12 - 1,16) \times 10^{-3}$  моль/л;  $C_{\text{АФ}} = (0,92 - 0,96) \cdot 10^{-3}$  моль/л; КФК-2;  $\lambda = 400$  нм;  $l = 0,5$  см]

В работе использовали 0,01 М растворы L и АФ в  $\text{CHCl}_3$ . Исходный раствор (0,1 мг/мл) Mn (II) готовили растворением в горячей воде 0,369 г  $\text{MnCl}_2 \cdot 4\text{H}_2\text{O}$  [11]. Концентрацию раствора Mn (II) устанавливали гравиметрически [1]. Для создания необходимых значений pH использовали 0,1 М HCl и аммиачно-ацетатные буферные растворы (pH 1–8), pH растворов контролировали с помощью иономера И-120.2 со стеклянным электродом. Оптическую плотность растворов измеряли на фотоэлектроколориметре КФК-2 и спектрофотометре СФ-26 в кюветах с толщиной поглащающего слоя 0,5 и 1,0 см соответственно. Ионную силу растворов поддерживали постоянной ( $\mu = 0,1$ ) введением рассчитанного количества KCl. Применяемые кислоты, основания, соли, органические растворители соответствовали маркам чда или хч. Объемное соотношение фаз не превышало 1:5 ( $\text{CHCl}_3:\text{H}_2\text{O}$ ). После расслаивания водную фазу отделяли и определяли марганец фотометрически с антраниловой кислотой [1]. Содержание марганца в органической фазе рассчитывали по разности. Экстрагируемость комплексов оценивали коэффициентом распределения ( $D = [\text{Mn}]_o/[\text{Mn}]_v$ ) и степенью экстракции ( $R, \% = 100D/(D + V_v/V_o)$ ) [12].

При однократной экстракции хлороформом в виде РЛК извлекают 97,8–99,2 % Mn (II). Исследовали влияние АФ на комплексообразование Mn (II) с L в широком интервале pH (рис. 1). Показано, что при pH



**Рис. 2.** Спектры поглощения РЛК Mn (II)-L-АФ: 1 — АФ<sub>1</sub>; 2 — АФ<sub>2</sub>; 3 — АФ<sub>3</sub>; 4 — АФ<sub>4</sub> [ $C_{\text{Mn(II)}} = 3,65 \cdot 10^{-5}$  моль/л;  $C_L = (1,12 - 1,16) \cdot 10^{-3}$  моль/л;  $C_{\text{АФ}} = (0,92 - 0,96) \cdot 10^{-3}$  моль/л; СФ-26;  $l = 1,0$  см]

4,9–6,5 под влиянием АФ аналитические характеристики определения марганца (II) по реакции с L улучшаются (табл. 1). Для уточнения характера взаимодействия исследована система Mn (II)-АФ в присутствии и в отсутствие L при pH 4,9–6,5: показано, что в системе Mn (II)-АФ комплексные соединения не образуются, однако в результате влияния АФ в спектре однороднолигандного комплекса (ОРК)  $\text{Mn}(\text{HL})_2$  наблюдаются батохромные эффекты. На основании данных табл. 1 можно сделать вывод, что при pH 4,9–6,5 АФ не влияет на координационную сферу Mn (II), а влияет на L, т.е. реализуется межлигандное взаимодействие. Из табл. 1 видно, что при переходе от ОРК к РЛК чувствительность определения по реакции комплексообразования возрастает и можно определить более низкие содержания Mn (II).

Максимальное светопоглощение наблюдается при 380–410 нм (см. рис. 2); L имеет максимум светопоглощения при 283 нм. Батохромный сдвиг составляет 97–123 нм. Молярные коэффициенты поглощения колеблются в интервале  $(2,10 - 2,45) \cdot 10^4$ . Для полного образования РЛК Mn (II)-L-АФ требуются 31–32- и 25–26-кратные избытки L и АФ соответственно. РЛК Mn (II)-L-АФ образуются практически мгновенно, устойчивы в водных и органических растворителях и не разлагаются в течение трех суток, а после экстракции — больше месяца.

Молярное соотношение Mn (II):L:АФ установлено методами Старика – Барбанеля, сдвига равновесия и Асмуса [13]. Кривые  $1/V_R^n = f(1/m_A)$ , построенные для различных значений  $n$ , показывают, что соотношение Mn (II):L:АФ = 1:2:2 (в случае АФ<sub>3</sub> и АФ<sub>4</sub> Mn (II):L:АФ = 1:2:1) (рис. 3). Методом Назаренко [14] установлено, что комплексообразующей формой марганца являются ионы  $\text{Mn}^{2+}$ . Определением степени

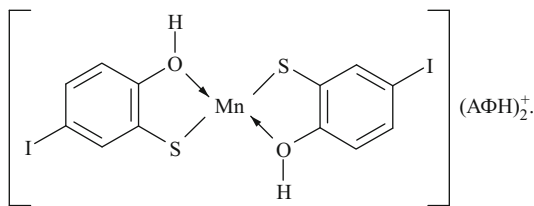
**Таблица 1.** Аналитические характеристики определения Mn (II) по реакциям образования различных РЛК

АФ	Состав Mn:L:АФ	pH <sub>об</sub>	pH <sub>опт</sub>	$\lambda_{\text{max}}$ , нм	$\Delta\lambda$ , нм	$\epsilon \cdot 10^{-4}$	$\lg \beta$	$\lg K_p$	$\lg K_{\text{эк}}$	R, %	D	Интервал подчинения закону Бера, мкг/мл
—	1:2	3,9–7,8	5,0–6,6	380	97	1,9	10,8	5,79	9,43	96,1	98,56	0,25–20
АФ <sub>1</sub>	1:2:2	3,1–7,8	5,1–6,5	390	107	2,10	12,4	7,83	11,39	97,8	177,8	0,34–20
АФ <sub>2</sub>	1:2:2	2,4–7,3	5,4–6,5	406	123	2,40	11,9	7,52	10,61	98,1	206,5	0,29–21
АФ <sub>3</sub>	1:2:1	2,9–7,7	4,9–6,2	395	112	2,27	12,2	8,67	11,60	98,4	246,0	0,30–22
АФ <sub>4</sub>	1:2:1	1,9–7,3	4,9–6,1	410	117	2,45	11,7	8,35	12,75	98,5	262,7	0,26–23
АФ <sub>5</sub>	1:2:2	2,9–8,0	4,9–6,0	398	115	2,20	12,0	6,57	10,98	98,7	303,7	0,28–22
АФ <sub>6</sub>	1:2:2	3,0–7,8	4,9–6,1	390	107	2,15	12,5	6,57	10,98	98,7	303,7	0,28–22
АФ <sub>7</sub>	1:2:2	2,9–7,4	4,9–6,2	380	97	2,08	13,0	7,60	12,85	98,7	303,7	0,35–22

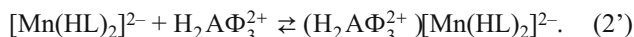
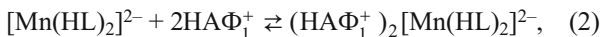
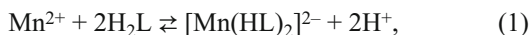
полимеризации [15] установлена мономерность ( $\gamma = 0,87 - 1,05$ ) комплекса в органической фазе.

ИК-спектры обезвоженного и спрессованного в таблетки с KBr комплекса марганца (II) с L и АФ<sub>1</sub> зарегистрировали в области 400 – 4000 см<sup>-1</sup> с помощью спектрометра Specord M-80. Полоса поглощения при 2410 – 2415 см<sup>-1</sup> указывает на координацию АФ<sub>1</sub> в протонированном виде [10]. Исчезновение полосы при 2580 см<sup>-1</sup>, наблюдаемое в спектре L, говорит о том, что группы -SH участвуют в образовании комплекса. Уменьшение интенсивности полосы поглощения в области 3200 – 3600 см<sup>-1</sup> с максимумом при 3460 см<sup>-1</sup> и появление полосы в области 3050 – 3150 см<sup>-1</sup> показывают, что группы -OH принимают участие в образовании координационной связи.

Исходя из полученных данных, структуру комплекса Mn (II) (в случае АФ<sub>1</sub>, АФ<sub>2</sub>, АФ<sub>5</sub>, АФ<sub>6</sub> и АФ<sub>7</sub>) можно представить следующим образом:



На основании определения молярных соотношений реагирующих компонентов и учета ионного состояния можно предположить, что реакции марганца (II) с L (H<sub>2</sub>L) и АФ протекают следующим образом:



Уравнение (2) соответствует взаимодействию [Mn(HL)<sub>2</sub>]<sup>2-</sup> с катионом НАФ<sup>+</sup> (АФ<sub>1</sub>, АФ<sub>2</sub>, АФ<sub>5</sub>, АФ<sub>6</sub> и АФ<sub>7</sub>), а уравнение (2') — с H<sub>2</sub>AФ<sup>2+</sup> (АФ<sub>3</sub> и АФ<sub>4</sub>). Константы равновесия вычисляли по уравнениям

$$\lg K_{\text{равн}} = \lg D - 2 \lg [\text{HA}\Phi_1^+], \quad (3)$$

и (в случае АФ<sub>3</sub> и АФ<sub>4</sub>)

$$\lg K_{\text{равн}} = \lg D - \lg [\text{H}_2\text{A}\Phi_3^{2+}]. \quad (3')$$

Константы экстракции рассчитывали по уравнениям

$$\lg K_{\text{эк}} = \lg D - 2 \lg [\text{HL}^-] - 2 \lg [\text{HA}\Phi_1^+], \quad (4)$$

$$\lg K_{\text{эк}} = \lg D - 2 \lg [\text{HL}^-] - \lg [\text{H}_2\text{A}\Phi_3^{2+}]. \quad (4')$$

Результаты вычисления констант равновесия и экстракции наряду с константами устойчивых комплексов ( $\lg \beta$ ) приведены в табл. 1.

Установлены интервалы концентрации, в которых соблюдается закон Бера (см. табл. 1). Открываемый минимум экстракционно-фотометрических методик определения Mn (II), рассчитанный согласно работе [13], составляет 0,014 – 0,023 мкг/мл. По чувствительности методики экстракционно-фотометрическо-

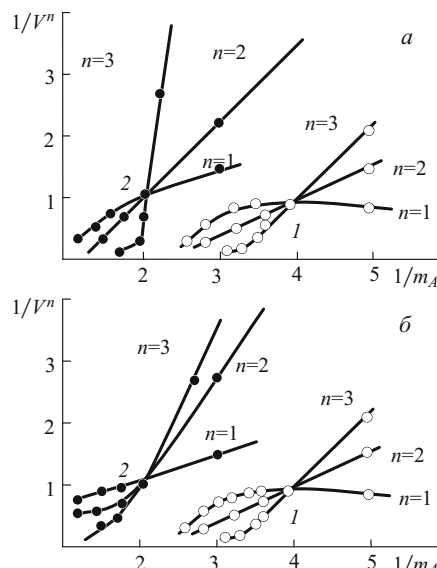


Рис. 3. Определение состава комплексов методом Асмусса: I — L; 2 — АФ; а — Mn (II)-L-AФ<sub>1</sub>; б — Mn (II)-L-AФ<sub>3</sub> [ $C_{\text{Mn (II)}} = 3,65 \cdot 10^{-5}$  моль/л;  $C_L = (1,12 - 1,16) \cdot 10^{-3}$ ;  $C_{\text{AФ}} = (0,92 - 0,96) \cdot 10^{-3}$ ; СФ-26;  $l = 1,0$  см]

го определения марганца можно расположить в ряд: АФ<sub>4</sub> > АФ<sub>2</sub> > АФ<sub>3</sub> > АФ<sub>5</sub> > АФ<sub>6</sub> > АФ<sub>1</sub> > АФ<sub>7</sub>.

Определению марганца (II) в виде РЛК Mn (II)-L-AФ<sub>1</sub> не мешают кратные количества следующих элементов: Li, Na, K (3000); РЭ, Cl<sup>-</sup>, NO<sub>3</sub><sup>-</sup> (1000); Ca, Ba, Sr (550); Cd, Mg (200); Hg (II), Zn (120); Co (II), Ni (II), Fe (II), Fe (III), U (VI) (100); Cu (II), Pb (II), Cr (III) (80); Al, Ga, In, Bi (III), Sb (III), Zr (IV), Hf (IV) (110); Ti (IV), Nb (V), Ta (V) (80); V (V), Mo (VI), W (VI) (70).

Данные, позволяющие сравнить аналитические характеристики методик определения Mn (II), использующих известные реагенты, и предлагаемых авторами, приведены в табл. 2. Из нее видно, что в присутствии третьих компонентов максимум светопоглощения смещен в длинноволновую область спектра, молярный коэффициент поглощения намного превышает молярные коэффициенты поглощения других комплексов [1, 16 – 17], значение pH реакции сдвинуто в более кислую область [1, 16 – 17], что повысило избирательность определения Mn (II).

Методики экстракционно-фотометрического определения Mn (II) с L и АФ апробированы при анализе стандартного образца, питьевых вод, листьев петрушек. Контрольными при этом служили методики определения марганца с 2,2'-дипиридилем и ализарином желтым Ж [17], 8-оксихинолином и 8-меркаптохинолином [1].

*Определение марганца в стандартных образцах сплавов.* Анализировали сплавы, содержащие (%): A-195-3 — 11,3 Si, 0,3 Mn, 0,6 Fe, 0,23 Zn, 0,14 Cu, 0,08 Ti, 0,17 Mg, ост. — Al; A-195-4 — 12,3 Si, 0,13 Mn, 0,9 Fe, 0,3 Zn, 0,11 Cu, 0,2 Ti, 0,12 Mg, ост. — Al; A-195-5 — 13,2 Si, 0,08 Mn, 1,1 Fe, 0,38 Zn, 0,04 Cu, 0,4 Ti, 0,09 Mg, ост. — Al. Навески массой 0,1 – 0,5 г

растворяли в 5 мл HCl (1:1) + 1 – 2 мл HNO<sub>3</sub> (1:1) при 50 °C, переводили в колбу вместимостью 50 мл и разбавляли водой до метки. Аликвотную часть помещали в делительную воронку, марганец определяли фотометрически с L ++ АФ (в случае A-195-3 и A-195-5 — с АФ<sub>1</sub>, АФ<sub>2</sub>, АФ<sub>3</sub>; в случае A-195-4 — с АФ<sub>1</sub>, АФ<sub>3</sub>, АФ<sub>4</sub>) и Dip + АлЖ [17], Ox [1]. Для установления достоверности полученных результатов проведена статистическая обработка [13, 19]. Показано, что методики не содержат систематических погрешностей, так как истинное содержание марганца не выходит за пределы установленного интервала.

Результаты представлены в табл. 3.

*Определение марганца в питьевой воде* [20]. Пробы воды (2 л) упаривали до объема 50 мл с добавлением 0,1 М HCl до значения pH 4,3 – 6,8. Аликвотную часть (20 мл) вносили в экстракционный сосуд, вводили  $n \cdot 10^3$  избыток PO<sub>4</sub><sup>3-</sup> для маскирования Fe<sup>3+</sup>, Mn (II) определяли с L + АФ (АФ<sub>1</sub>, АФ<sub>2</sub>, АФ<sub>3</sub>, АФ<sub>4</sub>) и Dip + АлЖ [17], Ox, мOx [1].

*Определение марганца в листьях петрушки.* Растворительную пробу готовили по методике [21]. Способ

сухой минерализации основан на полном разложении органических веществ путем сжигания проб растения в муфельной печи при контролируемом температурном режиме.

Охлажденную до комнатной температуры золу смачивали по каплям HNO<sub>3</sub> (1:1), выпаривали на водяной бане, помещали в муфельную печь, доводя ее температуру до 300 °C, и выдерживали 30 мин. Этот цикл может быть повторен несколько раз до получения золы цвета, близкого к белому, без обугленных частиц. Мешающее влияние железа устранили введением аскорбиновой кислоты. Добавление лимонной кислоты предотвращало взаимодействие L с вольфрамом. Мешающее влияние меди устранили путем связывания ее в комплекс с иодидом. После этого раствор переводили в мерную колбу объемом 100 мл, доводя объем до метки дистиллированной водой. Аликвотную часть помещали в делительную воронку и определяли марганец с L + АФ (АФ<sub>1</sub>, АФ<sub>2</sub>, АФ<sub>4</sub>) и Ox, мOx [1] (см. табл. 3).

Таким образом, изучено комплексообразование Mn (II) с 2-гидрокси-5-хлортиофенолом. Марганец (III)

**Таблица 2.** Аналитические характеристики некоторых методик фотометрического определения марганца (II)

Реагенты	pH <sub>опт</sub>	λ <sub>max</sub> , нм	Δλ, нм	ε · 10 <sup>-4</sup>	lg β	R, %	D	Интервал подчинения закону Бера, мкг/мл	Литература
L	5,0 – 6,6	380	97	1,9	10,8	96,1	8,56	0,25 – 20	Данное
L + АФ <sub>1</sub>	5,1 – 6,5	390	107	2,10	12,4	97,8	177,8	0,34 – 20	иссле- дование
L + АФ <sub>2</sub>	5,4 – 6,5	406	123	2,40	11,9	98,1	206,5	0,29 – 21	
L + АФ <sub>3</sub>	4,9 – 6,2	395	112	2,27	12,2	98,4	246,0	0,30 – 22	
L + АФ <sub>4</sub>	4,9 – 6,1	410	117	2,45	11,7	98,5	262,7	0,26 – 23	
BFen + АлЖ	6,7	370	20	1,45	8,2	98,9	192	—	[16]
BFen + АлР	8,3	390	20	2,27	7,2	99,0	199	1 – 22,5	[16]
Fen + АлЖ	10	370	20	1,12	9,17	98,8	161	—	[18]
Fen + АлР	9,1	390	20	1,95	8,01	98,8	162	0,5 – 20	[18]
Dip + АлЖ	11	360	10	1,01	6,7	98,4	125	—	[17]
Dip + АлР	8,8	380	20	1,15	5,3	—	—	—	[17]
Ox	7,2 – 12,5	395	—	0,85	—	—	—	—	[1]
mOx	6,0 – 6,5	413	—	0,70	—	—	—	—	[1]

**Примечание.** BFen — 4,7-дифенилфенантролин; Fen — 1,10-фенантролин; Dip — 2,2'-дипиридинил; АлЖ — ализарин желтый Ж; АлР — ализарин желтый Р; Ox — 8-оксихинолин; mOx — 8-меркаптохинолин.

**Таблица 3.** Результаты определения марганца в промышленных и природных материалах

Анализируемый материал	Найдено марганца, $\bar{X} \pm t_p S / \sqrt{n}$ , % ( $S_r$ )						
	L + АФ <sub>1</sub>	L + АФ <sub>2</sub>	L + АФ <sub>3</sub>	L + АФ <sub>4</sub>	Ox	mOx	Dip + АлЖ
Стандартный образец							
A-195-3	0,300 ± 0,002 (0,034)	0,300 ± 0,004 (0,035)	0,290 ± 0,005 (0,025)	—	0,300 ± 0,004 (0,023)	—	0,310 ± 0,003 (0,054)
A-195-4	0,130 ± 0,005 (0,042)	—	0,129 ± 0,008 (0,050)	0,130 ± 0,002 (0,071)	0,130 ± 0,002 (0,037)	—	0,129 ± 0,005 (0,069)
A-195-5	0,079 ± 0,001 (0,066)	0,080 ± 0,006 (0,073)	0,079 ± 0,007 (0,063)	—	0,079 ± 0,006 (0,012)	—	0,080 ± 0,001 (0,015)
Питьевая вода	0,019 ± 0,004 (0,039)	0,018 ± 0,006 (0,058)	0,020 ± 0,002 (0,069)	0,018 ± 0,005 (0,056)	0,017 ± 0,007 (0,045)	0,018 ± 0,005 (0,038)	0,020 ± 0,003 (0,034)
Растения	0,239 ± 0,004 (0,047)	0,239 ± 0,004 (0,061)	—	0,239 ± 0,004 (0,068)	0,239 ± 0,003 (0,030)	0,239 ± 0,004 (0,039)	—

**Примечание.** Содержание марганца в питьевой воде указано в мг/л; в листьях петрушки — в мг/кг.

образует разнолигандные комплексы с соотношением компонентов 1:2:2 и 1:2: 1 при pH 4,9 – 6,5. Степень извлечения комплексов хлороформом составляет 97,8 – 99,2 %. Исследованы оптические характеристики комплексов ( $\lambda_{\text{max}} = 380 – 410$  нм), определены их молярные коэффициенты поглощения ( $\varepsilon = (2,10 – 2,45) \cdot 10^4$ ). Предложена методика экстракционно-фотометрического определения Mn (II), которая апробирована при анализе стандартных образцов сплавов, а также образцов питьевой воды и листьев петрушки.

## ЛИТЕРАТУРА

- Лаврухина А. К., Юкина Л. В. Аналитическая химия марганца. — М.: Наука, 1974. — 315 с.
- Хольцбекер З., Дивиш Л., Крал М., Шуха Л., Влачил Ф. Органические реагенты в неорганическом анализе. — М.: Мир, 1979. — 753 с.
- Рустамов Н. Х., Велиева Г. Г. Синтез и исследование координационного соединения марганца (II) с 1,10-фенантролином и ализариновым желтым Р / Азерб. хим. журн. 2010. № 3. С. 44 – 47.
- Петрухин О. М. Координационная химия и аналитические методы разделения металлов / Коорд. химия. 2002. Т. 28. № 10. С. 725.
- Пилипенко А. Т., Тананайко М. М. Разнолигандные и разнометалльные комплексы и их применение в аналитической химии. — М.: Химия, 1983. — 221 с.
- Марченко З., Бальцекак М. Методы спектрофотометрии в УФ и видимой областях в неорганическом анализе. — М.: БИНОМ. Лаборатория знаний, 2007. — 711 с.
- Лукачина В. В. Межлигандные связи в разнолигандных комплексах / Коорд. химия. 1982. Т. 8. № 4. С. 419 – 429.
- Хо Вьет Куй, Петрухин О. М., Золотов Ю. А. Смешанолигандные комплексы в системах цирконий (гафний) 4-(2-пиридилазо)резорцин — уксусная кислота (ее хлорпроизводные) / Журн. анализ. химии. 1987. Т. 42. № 2. С. 299 – 307.
- Алиева Р. А., Чырагов Ф. М., Махмудов К. Т. Фотометрическое определение меди (II) в нефтяных шламах / Заводская лаборатория. Диагностика материалов. 2004. Т. 70. № 9. С. 22 – 25.
- Гаджиева С. Р., Чырагов Ф. М., Махмудов К. Т. Комплексообразование меди (II) с 3-[2-гидрокси-3-сульфо-5-нитрофенилазо]пентадионом-2,4 в присутствии дифенилгуанидина / Заводская лаборатория. Диагностика материалов. 2006. Т. 72. № 12. С. 18 – 20.
- Вердизаде Н. А., Залов А. З., Халафова Н. К. и др. Исследование комплексообразования меди (II) с 2,6-дитио-4-третбутилфенолом и дифенилгуанидином / Азерб. хим. журн. 2000. № 1. С. 33 – 36.
- Вердизаде Н. А., Амрахов Т. И., Кулиев К. А., Залов А. З. 2-окси-5-хлортио-фенол как новый аналитический реагент для определения ванадия, молибдена и вольфрама / Журн. анализ. химии. 1997. Т. 52. № 10. С. 1042 – 1046.
- Залов А. З., Вердизаде Н. А. Экстракционно-спектрофотометрическое определение вольфрама с 2-гидрокси-5-хлортио-фенолом и гидрофобными аминами / Журн. анализ. химии. 2013. Т. 68. № 3. С. 230 – 236.
- Вердизаде Н. А., Залов А. З., Амрахов Т. И., Кулиев К. А. Экстракционно-фотометрическое определение молибдена с 2-окси-5-хлортио-фенолом и дифенилгуанидином в виде разнолигандного комплекса / Журн. анализ. химии. 2000. Т. 55. № 43. С. 371 – 375.
- Gavazov K. B. Nitroderivatives of catechol: from synthesis to application / Acta Chim. Slov. 2012. Vol. 59. N 1. P. 1 – 17.
- Гавазов К. Б., Димитров А. Н., Лекова В. Д. Применение тетразолиевых солей в неорганическом анализе / Успехи химии. 2007. Т. 76. № 2. С. 187 – 199.
- Ngoc Thu L., Ngoc Thiem L., Anh Tuan V. Research Complex ion formation of tungsten (VI) with methyl violet 2B reagent (M2B) in environmental water-acetone photometric method and usability analysis / Tap Chi Hoa Hoc. 2009. Vol. 47. N 6. P. 679 – 684.
- Рустамов Н. Х., Керамова А. А. Экстракционно-фотометрическое определение железа (III) с гетероциклическими диаминами и азопроизводными салициловой кислоты / Заводская лаборатория. Диагностика материалов. 2009. Т. 75. № 5. С. 3 – 8.
- Stojnova K. T., Gavazov K. B., Lekova V. D. Ion-association complexes of gallium (III) — 4-(2-pyridylazo)-resorcinol anionic chelates and dicationic tetrazolium reagents / Acta Chim. Slov. 2013. Vol. 60. N 2. P. 390 – 396.
- Stefanova T. S., Gavazov K. B. Phenylmethoxybis (tetrazolium) ion-association complexes with an anionic indium (III) — 4-(2-pyridylazo)resorcinol chelate / Cent. Eur. J. Chem. 2013. Vol. 11. N 2. P. 280 – 289.
- Алиева Р. А., Алиева Ф. С., Чырагов Ф. М. Спектрофотометрическое определение индия с бис-[2, 3, 4-тригидроксифенилазо]бензидином в присутствии папаверина, дифенилгуанидина и уротропина / Заводская лаборатория. Диагностика материалов. 2006. Т. 72. № 5. С. 17 – 19.
- Кулиев А. М., Алиев Ш. Р., Мамедов Ф. Н., Мовсумзаде М. Синтез аминометильных производных 2-окси-5-трет-алкилтиофенолов и их расщепление тиолами / Журн. орган. химии. 1976. Т. 12. № 2. С. 426 – 430.
- А. с. 182168 СССР. Способ получения многофункциональной присадки. Ф. Н. Мамедов, Ф. А. Мамедов. — № 1. 1966.
- Беллами Л. Инфракрасные спектры сложных молекул. — М. – Л., 1963. — 590 с.
- Коростелев П. П. Приготовление растворов для химико-аналитических работ. — М.: Химия, 1964. — 386 с.
- Умланд Ф., Янсен А., Тириг Д., Вюнни Г. Комплексные соединения в аналитической химии. Теория и практика применения. — М.: Мир, 1975. — 531 с.
- Divarova V. V., Gavazov K. B., Lekova V. D., Dimitrov A. N. Spectrophotometric investigations on liquid-liquid extraction systems containing cobalt, 4-(2-pyridylazo)-resorcinol and tetrazolium salts / Chemija. 2013. Vol. 24. N 2. P. 81 – 87.
- Булатов М. М., Калинкин И. П. Практическое руководство по фотоколориметрическим и спектрофотометрическим методам анализа. — М. Л.: Химия, 1972. — 386 с.
- Назаренко В. А. Взаимодействие ионов многовалентных элементов с органическими реактивами / Труды комиссии по анализ. химии АН СССР. — М.: Наука, 1969. Т. 17. С. 22 – 31.
- Ахмедли М. К., Клыгин А. Е., Иванова Л. И., Баширов Э. А. О химизме взаимодействия ионов галлия с некоторыми сульфофталиниами / Журн. неорган. химии. 1974. Т. 19. № 8. С. 2007.
- Булатов М. М. К вопросу о теоретической оценке определения минимума фотометрических реакций / Журн. анализ. химии. 1975. Т. 30. № 1. С. 65.
- Адамович Л. И. — В кн.: Рациональные приемы составления аналитических прописей. — Харьков: Издательство ХГУ, 1969. С. 17.
- Рустамов Н. Х., Аббасова Г. Г. Синтез и исследование координационных соединений марганца (II) с 1,10-фенантролином и 2,4-динитробензазо салициловой кислотой / Изв. вузов. Химия и химич. технология. 2013. Т. 56. № 12. С. 44 – 48.
- Rustamov N. Kh., Abbasova G. G. Determination of manganese in tap water by a new extraction-photometric method / American J. Anal. Chem. 2014. Vol. 5. N 4. P. 275 – 280.
- Практикум по агрохимии: учеб. пособие. — 2-е изд., перераб. и доп. / Под ред. В. Г. Минеева. — М.: Изд-во МГУ, 2001. — 689 с.